

Πρακτικά	δου	Συνεδρίου	Μάιος	1992
Δελτ. Ελλ. Γεωλ. Εταιρ.	Τομ.	XXVIII/2	σελ.	Αθήνα
Bull. Geol. Soc. Greece	Vol.		pag.	1993 Athens

**ΠΑΛΑΙΟΓΕΩΓΡΑΦΙΚΕΣ ΣΥΝΘΗΚΕΣ ΣΧΗΜΑΤΙΣΜΟΥ ΤΩΝ  
ΦΩΣΦΟΡΙΤΩΝ ΚΑΙ ΜΗΤΡΙΚΩΝ ΠΕΤΡΩΜΑΤΩΝ  
ΠΕΤΡΕΛΑΙΟΥ ΣΤΗΝ ΗΠΕΙΡΟ. ΣΥΜΒΟΛΗ ΣΤΗΝ ΕΡΕΥΝΑ  
ΦΩΣΦΟΡΙΤΩΝ ΚΑΙ ΥΔΡΟΓΟΝΑΝΘΡΑΚΩΝ**

**Π.ΒΕΚΙΟΣ\*, Ε.ΧΙΩΤΗΣ\***

**Σ Υ Ν Ο Ψ Η**

Περιγράφονται στρωματογραφικές τομές φωσφοριτών και οργανικών ιζημάτων της Ηπείρου, η κατανομή στο χώρο των κυριότερων εμφανίσεων τους και οι παλαιογεωραφικές συνθήκες σχηματισμού τους.

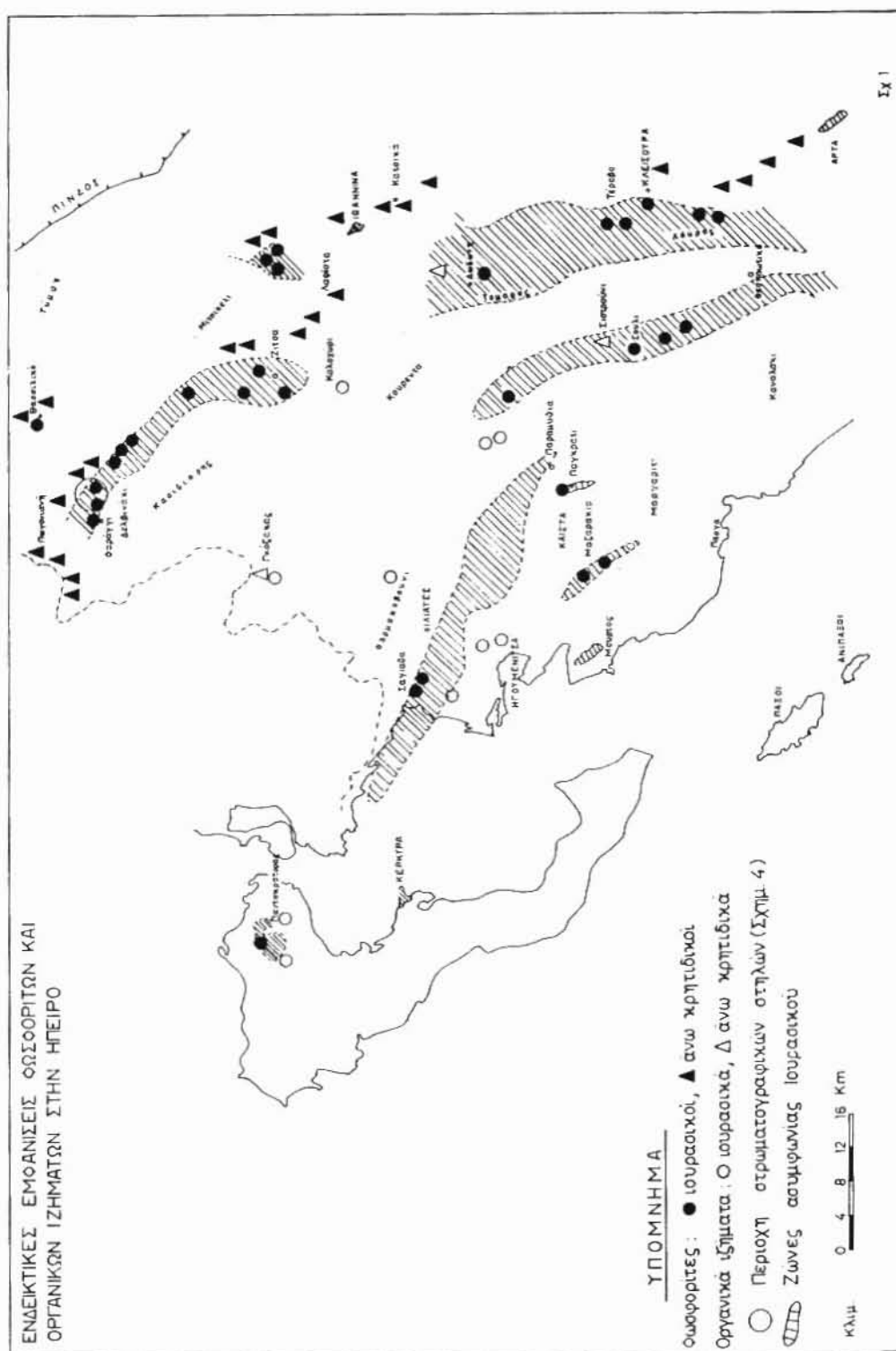
Η παράλληλη ιζηματογένεση ραδιολαρίτων, φωσφοριτών και οργανικών ιζημάτων στο κατώτερο - μέσο Ιουρασικό και στο ανώτερο Κρητιδικό αποδίδεται στὴν λειτουργία ανοδικών ρευμάτων προερχομένων εκ του ωκεανού της Τηθύος. Οι Ιουρασικοί φωσφορίτες και τα αντίστοιχα οργανικά ιζήματα σχηματίσεται από το Δομέριο μέχρι τό Καλλοβίο, οι μεν φωσφορίτες στην ευφωτική ζώνη σε υποθαλάσσιες ράχεις τα δε οργανικά ιζήματα σε λεκάνες βάθους ολίγων εκατοντάδων μέτρων και συνδέονται με ισημερινά ρεύματα.

Οι ανωκρητιδικοί φωσφορίτες συνδέονται με ρεύματα από αληγείς ανέμους και σχηματίσεται στο περιβάλλον υποθαλάσσιας ράχης δυτικά από την βάση υφαλοκριπίδας μεταξύ Ιονίου ζώνης και Γαβρόβου, ενώ τα οργανικά ιζήματα απετεθησαν βαθύτερα, αλλά στο περιβάλλον υποθαλασσίων ράχεων.

**A B S T R A C T**

Stratigraphic sections pertaining to phosphorites and black shales in Epirus are described, as well as the distribution of the most significant occurrences and the paleogeography during their formation. The correlative sedimentation of radiolarites, phosphorites and black shales during the Lower and Middle Jurassic and the Upper Cretaceous is ascribed to oceanic upwellings from Tethys. Both the Jurassic phosphorites and the relevant black shales were deposited during Domerian to Callovian and were associated with equatorial currents. The phosphorites were formed in the photic zone on submarine mountains whereas the black shales in basins a few hundred meters deep. The Upper Cretaceous phospho-

\* ΙΓΜΕ, Μεσογείων 70, 115 27 Αθήνα



rites overlie or mainly surround a submarine ridge west of the base of the continental shelf between the Ionian and Gavrovo zone, whereas the Cretaceous black shales were deposited deeper but close to submarine ridges. Both of them, Cretaceous phosphorites and black shales, are associated with oceanic upwellings caused by trade winds.

### Ε Ι Σ Α Γ Ω Γ Η

Παρ' όλο που η Ιόνιος ζώνη έχει μελετηθεί συστηματικά, εν μέρει λόγω του ερευνητικού της ενδιαφέροντος για υδρογονάνθρακες και φωσφορικά, η παλαιογεωραφική της εξέλιξη δεν έχει ακόμη κατανοηθεί ικανοποιητικά. Οι βάσεις της στρωματογραφίας της Ιονίου ζώνης οφείλονται σε πολυετείς μελέτες του Renz (1957). Ο Autoin (1959) πρότεινε την διαφοροποίηση της Ιονίου αύλακος κατά το μέσο λιάσιο βάσει της επικράτησης σ' αυτήν πελαγικών συνθηκών, μετά από την ανάπτυξη μιας εκτενούς ανθρακικής πλατφόρμας στο χώρο των εξωτερικών Ελληνίδων από το ανώτερο Τριαδικό μέχρι και το μέσο λιάσιο. Την παλαιογεωραφική αυτή αλλαγή επιβεβαίωσαν οι γεωλόγοι IGRS - IFP (1966), οι οποίοι επιπλέον δέχονται τεκτονική κεράτων που αρχίζει από το τέλος του κατωτέρου λιάσιου και αναπτύσσεται κατά το ανώτερο λιάσιο. Συνεπεία της τεκτονικής αυτής βεωρούν ότι αναδύονται εκ της βαλάσσης οι πρόδρομοι των σπηλειγών αντικλινικών αξόνων που βιβλίζονται και πάλι στην πλειονότητα τους από το Κρητιδικό. Οι γεωλόγοι της BP (1971) βεωρούν ότι η Ιόνιος ζώνη αντιπροσωπεύει αύλακα βαθέων υδατών επί μακρόν, παρ' όλο που μπορεί να υπήρξαν περίοδοι βασιτέρων ή τουλάχιστον πρεμότερων συνθηκών. Οι Bernulli και Renz (1970) βεωρούν ότι από το Ιουρασικό αναπτύσσεται έντονη υποθαλάσσια μορφολογία και αυξάνεται το βάθος της βαλάσσης λόγω εφελκυστικής τεκτονικής. Οι Bosellini & Winterer (1975) βάσει της κατανομής του CaCO<sub>3</sub> στους σύγχρονους ακεανών δέχονται για την πυριτική σειρά της Βίγλας βάθην βαλάσσης μέχρι 3500 μέτρων. Ο Fleury (1980) βεωρεί υπερβολικές τις εκτιμήσεις αυτές και δέχεται σαν λογικότερα βάθην γιά την απόθεση ραδιολαρίτων της τάξεως των 1000 έως 1500 μέτρων. Ο Karakitsios (1990) συμπεραίνει ότι τα βάθη απόθεσης των διαφόρων σχηματισμών κατά το ανώτερο λιάσιο - Μάλιμο θα πρέπει να είναι ακόμη πιο μέτρια από εκείνα που προτείνει ο Fleury (1980).

Οι παλαιογεωραφικές συνθήκες σχηματισμού των φωσφοριτών και των οργανικών ιζημάτων θα πρέπει να ενταχθούν στο ανωτέρω πλαίσιο που γίνεται συνθετότερο, αν ληφθεί υπόψη ο συσχετισμός των φωσφοριτών με ανοδικά ρεύματα και των οργανικών ιζημάτων με συνθήκες αναερόβιες σε μεγάλες περιοχές των ακεανών, όπως είναι σήμερα γενικά αποδεκτό.

---

Σχ. 1. Χάρτης βέσσεως Ιουρασικών (●) και ανωκρητιδικών (▲) φωσφοριτών, καθώς και Ιουρασικών (○) και ανωκρητιδικών (Δ) οργανικών ιζημάτων Ηπείρου. Οριοθέτηση υποθαλασσών ράχεων (ζώνες C) κατά IGRS-IPF (1966).

Fig. 1. Location map of Jurassic (●) and Upper Cretaceous (▲) phosphorites, as well as Jurassic (○) and Upper Cretaceous (Δ) black shales in Epirus. Delination of submarine ridges (zones C) after IGRS-IPF (1966).

## ΠΕΡΙΓΡΑΦΗ ΙΟΥΡΑΣΙΚΩΝ ΕΜΦΑΝΙΣΕΩΝ

### Φωσφορίτες

Οι εμφανίσεις φωσφορίτων της Ηπείρου είναι πολυάριθμες, όπως φαίνεται από το Σχ.1, και διακρίνονται στους ουρασικούς και τους κρυπτιδικούς (Σχ.2). Οι πρώτοι καλύπτονται συνήθως από τους ανωτέρους σχιστολίθους με Ποσειδώνιες και απετέθησαν υποθαλάσσια σε περιοχές στρωματογραφικού κενού επί των ασβεστολίθων του Παντοκράτορα. Οι ουρασικοί φωσφορίτες απαντούν υπό δύο μορφές (Βέκιος, 1979) :

1. Ως ιζηματογενείς φλέβες που πληρούν ρωγμές εντός των ασβεστολίθων του Παντοκράτορα και
2. Υπό μορφήν στρωμάτων επί των ιδίων ασβεστολίθων.

Οι ιζηματογενείς φλέβες, τυπικές εμφανίσεις των οποίων, απαντούν στο Φαράγγι Δελβινακίου (Σχ. 3), είναι περισσότερον διαδεδομένες και απαντούν ακόμη και όταν απουσιάζουν οι στρωματοειδείς φωσφορίτες. Οι φλέβες είναι σχετικά πυκνές, πάχους ολίγων δεκάδων εκατοστών και βάθους μερικών δεκάδων μέτρων. Απαντούν σε περιοχές όπου οι σχιστόλιθοι με Ποσειδώνιες απετέθησαν μετά από περίοδο στρωματογραφικού κενού. Στο Μιτσικέλι π ανάπτυξη των φλεβών παρακαλούσειται με γεωτρήσεις μέχρι βάθους 70 μέτρων, ενώ στο Δελβινάκι φθάνουν μέχρι βάθους 30 (?) μέτρων.

Τα τοιχώματα των φλεβών δεν έχουν τα χαρακτηριστικά καρστικής διάβρωσης, παρ' όλο που δεν αποκλείεται μερική διάβρωσή τους. Το υλικό πληρώσεως αποτελείται από γωνιώδεις λατύπες ασβεστολίθων του Παντοκράτορα, διάστασεων 1 έως 4 cm, που κολυμβούν σε μια λεπτή μάζα ουρανιούχου φωσφορίτου τεφρού έως μελανού χρώματος και οσμής βιτουμενίων. Στη μάζα αυτή ζητούν ευρεθεί επίσης απολιθώματα Ποσειδώνιών. Η περιεκτικότητα σε  $P_{2}O_5$  κυμαίνεται από 10 έως 35 %.

Ο στρωματοειδής φωσφορίτης στο Φαράγγι Δελβινακίου (Σχ.3) έχει αποτεθεί σε ήπιο ανάγλυφο των ασβεστολίθων του Παντοκράτορα και το πάχος του εντός των εγκοίλων φθάνει τα πέντε μέτρα. Είναι συμπαγής και παρουσιάζει λεπτές χιλιοστομετρικές ταινιώσεις με πυκνά εκμαγεύσα κελυφών Ποσειδώνιών, πράγμα που επιβεβαιώνει την απόθεσή του υποθαλασσίως. Προς τα άνω εξελίσσεται βαθμιαία προς τους σχιστολίθους με Ποσειδώνιες. Ενώ μεταξύ του στρωματοειδούς φωσφορίτου και των ασβεστολίθων του Παντοκράτορα μεσολαβεί στρωματογραφικό κενό. Εχει οσμή βιτουμενίων και το χρώμα του είναι γκρι σκούρο έως μελανό. Η περιεκτικότητα σε  $P_{2}O_5$  κυμαίνεται από 20 έως 27%. Στο Δελβινάκι π περιεκτικότητα σε οργανικό άνθρακα του στρωματοειδούς φωσφορίτη κυμαίνεται μεταξύ 0,3 έως 0,6 και στη Στούπαινα Μιτσικέλου είναι περίπου 0,3 %. Οι τιμές αυτές είναι χαμπλές μεν από πλευράς δυναμικού πετρελεογένεσης, αλλά υψηλότερες από τις κανονικές τιμές για τα ιζήματα ανοικτής βαλάσσης.

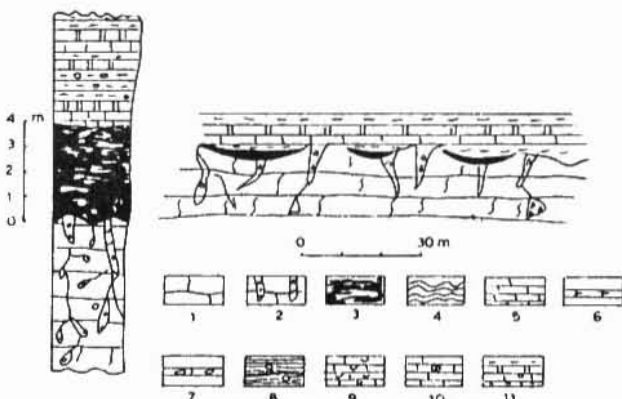
Οι παλαιογεωγραφικές συνθήκες σχηματισμού και απόθεσης των ουρασικών φωσφορίτων μπορούν να γίνουν κατανοπτές βάσει σειράς στρωματογραφικών τομών στην περιοχή Δελβινακίου (Σχ. 4), οι οποίες διατάσσονται σε τομή διεύθυνσης ΒΑ-ΝΔ (Σχ. 1), δηλαδή κάθετα προς τον άξονα της ουρασικής υποθαλάσσιας ράχης Δελβινακίου-Ζιτσας. Κινούμενοι επί της τομής αυτής από το Φαράγγι προς ΒΑ μειώνεται βαθμιαία το στρωματογραφικό κενό μεταξύ των λιασσών ασβεστολίθων και των σχιστολίθων με Ποσειδώνιες και συνεπώς προς τα ΒΑ συναντώνται τα μαρύτερα σημεία της ουρασικής λεκάνης στη συγκεκριμένη περιοχή στο Φαράγγι.

Στο άμεσο περιβάλλον του στρωματοειδούς φωσφορίτη στο Φαράγγι στη στρωματογραφική τομή Α (Σχ. 4), που είναι και η πλησιέστερη

Ν.ο	Βαθμινες	Φωσφορογενεση	Οργανισμοί	Πυριτικές σειρές	Σχηματισμοί
80	Σαντόνιο - Κονισσιο				
90	Κενομανιο				
100	Τουρωνιο				
	ΚΑΤΩΤΕΡΟ ΚΡΗΤΙΔΙΚΟ				
135	Τιθώνιο				
144	Κιμμεριδιο				
146	Οξφορδιο				
154	Καλλοβιο				
160	Βαζωνιο				
167	Βαγιωνιο				
176	Ααλένιο				
180	Τοάροιο				
187	Πλιενοβάθιο				
194	Σινεμούριο				
201	Εττάνγιο				
205					

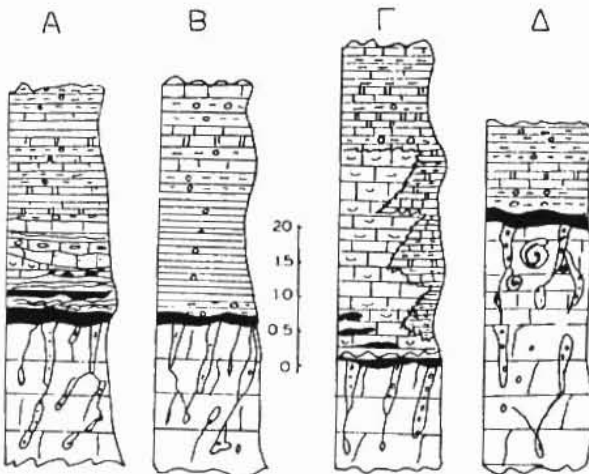
Σχ. 2. Στρωματογραφικός συσχετισμός γεωλογικών σχηματισμών, φωσφορογένεσης και οργανικών ισημάτων. Η στρωματογραφία κατά IGRS-IFP (1966), Walzebuck (1982) και Karakitsios (1990), απλοποιημένη

Fig.2. Stratigraphic correlation of geological formations, phosphogenesis and black shales. Stratigraphic column after IGRS-IFP (1966), Walzebuck (1982) and Karakitsios (1990), simplified.



Σχ. 3. Στρωματογραφική στήλη και γεωλογική τομή της εμφάνισης φωσφορίτη στο Φαράγγι Δελβινακίου. Γεωλογικοί σχηματισμοί όπως στο Σχ. 4.

Fig.3. Stratigraphic column and geological section of the phosphorite occurrence at Faragi, Delvinakion. Geological formations as in Fig.4.



Σχ. 4. Τυπικές στρωματογραφικές στήλες στο Φαράγγι Δελβινακίου.  
 1:Ασβεστόλιθοι Παντοκράτορα. 2:Ασβεστόλιθοι Παντοκράτορα με ιζηματογενείς φλέβες πληρωμένες με φωσφορίτη και λατύπες ασβεστολίθου. 3:Στρωματοειδής φωσφορίτης. 4:Ασβεστόλιθοι με στρωματολίθους φυκών. 5:Ασβεστόλιθοι. 6:Κερατόλιθοι. 7:Ασβεστόλιθοι με κονδύλους κερατολίθου. 8:Οργανικά ιζήματα (black shales). 9:Ασβεστόλιθοι με filaments. 10:Ασβεστόλιθοι Σινιών με αμμωνίτες πληρωμένους με φωσφορίτη. 11:Σχιστόλιθοι με Ποσειδώνιες

Fig.4. Representative stratigraphic columns at Faragi, Delvinakion. 1:Pantokrator limestones. 2:Pantokrator limestones with sedimentary veins filled by phosphorite and limestone breccia. 3:Stratiform phosphorite. 4:Limestones with algal stromatolites. 5:Limestones. 6:Chert. 7:Limestones with chert nodules. 8:Black shales. 9:Limestones with filaments. 10:Sinies limestones with ammonites filled by phosphorite. 11:Poshidonian shales.

πρός τὴν υποβαλάσσια ράχη, επὶ τῶν ασβεστολίθων του Παντοκράτορα καὶ χωρὶς γνωιώδη ασυμφωνία απαντούν στρώματα μαύρου συμπαγούς φωσφορίτη πάχους 5 ἔως 20 cm που παρεμβάλλονται μεταξύ ασβεστολίθων με στρωματολίθους φυκών καὶ καλύπτονται από λεπτό στρώμα ασβεστολίθου με filaments. Οἱ ανώτεροι σχιστόλιθοι με Ποσειδώνιες αποτελούνται από εναλλαγές στρωμάτων κερατολιθικών, πάχους 5 ἔως 10 cm, καὶ αργιλοπυριτικών με Ποσειδώνιες, πάχους 2 ἔως 10 cm, με ενδρώσεις ασβεστολίθων πάχους 15 ἔως 20 cm. Πλὴν του στρωματοειδούς φωσφορίτη απαντούν επίσης φλεβίδια καὶ κόνδυλοι φωσφορίτου.

Στην τομη Β, σε πλευρική απόσταση 150 m από το Φαράγγι, ο στρωματοειδής φωσφορίτης επὶ τῶν ασβεστολίθων του Παντοκράτορα υπόκειται μαύρων οργανικών ιζημάτων με Ποσειδώνιες με χιλιοστομετρικές ταινιώσεις, συνολικού πάχους 2 m περίπου. Στην τομή Γ, σε απόσταση 650 m από την προηγουμένη, απαντούν φακοειδή σώματα ασβεστολίθων με filaments μήκους 4 ἔως 5 m που αποσφηνώνονται πρὸς Ψηφιακή Βιβλιοθήκη Θεόφραστος - Τμῆμα Γεωλογίας. Α.Π.Θ.

σχιστολίθους με Ποσειδώνιες. Οι ασβεστόλιθοι με filaments είναι τοπικά φωσφορίτιωμένοι παράλληλα πρός τήν στρώση. Σε απόσταση 1500 m BA (τομη Δ) ο στρωματοειδής φωσφορίτης και το κάλυμμα του εκ σχιστολίθων με Ποσειδώνιες έχουν αποτελεί επί ασβεστολίθων των Σινιών. Οι τελευταίοι έχουν στρώματα πάχους 30 cm και περιέχουν κονδύλους κερατολίθων και αμμωνίτες. Οι αμμωνίτες, διαμέτρου 2 έως 3 cm έχουν πληρωθεί εν μέρει με φωσφορίτη. Παρόμοια εμφάνιση αμμωνιτών μεγαλυτέρων διαστάσεων με γέμισμα φωσφορίτη απαντά επίσης στη Ζέτσα εντός των ασβεστολίθων των Σινιών.

### Οργανικά Ιζήματα

Πρόκειται για μαύρα αργιλλικά ιζήματα ανώμαλα πλούσια σε οργανικό όνταρα που παρουσιάζουν μεγάλο ενδιαφέρον σαν μητρικά πετρώματα πετρέλαιου.

Ο Walzebuck (1982) περιγράφει αναλυτικά τα ιζήματα αυτά τα οποία θεωρεί ότι σχηματίσθηκαν κατά το διομέριο και το Τοάρσιο και ενδεχομένως το Ασλένιο, στις βαθύτερες περιοχές της Ιονίου θάλασσας. Επίσης θεωρεί ότι τα οργανικά ιζήματα είναι πλευρικά λασιθώματα :

- 1) των ασβεστολίθων Ammonitico Rosso που αποτίθενται υψηλότερα στα περιθώρια υποθαλασσίων ράχεων,
- 2) των δομέριων ασβεστολίθων των Σινιών που αντικαθίστανται πλευρικά από μαύρα οργανικά ιζήματα,
- 3) των ασβεστολίθων με filaments προς τους οποίους αποσφηνώνονται τοπικά και
- 4) των στρωματογραφικών κενών των υποθαλασσίων ράχεων.

Στα οργανικά αυτά ιζήματα παρεμβάλλονται κατά τον Walzebuck (1982) ενστρώσεις κλαστικών ιζήματων με μικρή πλευρική ανάπτυξη που διακρίνονται σε :

- 1) ανθρακικά τουρβιδικά στρώματα (calcturbidites),
- 2) λατυποπάγη στα οποία οι λιθοκλάστες κολυμβούν σε συνεκτικό υλικό χωρίς να εφάπτονται (debris flow)
- 3) ολισθεόλιθους.

Τα οργανικό υλικό προέρχεται κυρίως από θαλάσσια πλαγκτόν, ενώ είναι χαρητής η περιεκτικότητα χερσαίου οργανικού υλικού, πράγμα που υποδηλώνει ότι οι υποθαλάσσιες ράχεις δεν αναδύθηκαν, τουλάχιστον επί μακρόν. Το ιζηματογενές μοντέλο κατά Walzebuck συνοψίζεται ως ακολούθως. Σε πρώτη φάση τεμαχίζεται η αγωτριαδική-κάτω λιάστιος ανθρακική πλατφόρμα σε λεκάνες και ράχεις. Οι ράχεις διατηρούνται σε μικρό βάθος εντός της θαλάσσης και δυσχεραίνουν έτσι την κυκλοφορία νερού στις λεκάνες, όπου λόγω της στασιμότητος δημιουργούνται αναγγιγικές συνθήκες και τοπικά αποτίθενται οργανικά ιζήματα κατά το διομέριο. στη συνέχεια δε επεκτείνονται ευρύτερα κατά το Τοάρσιο. Στο ανώτερο Τοάρσιο παύει πλέον η στασιμότης, το ανάγλυφο μειώνεται και επαναλειτουργούν ρεύματα στον πυθμένα. Παρά την κυκλοφορία νερού, συνεχίζονται οι αναγγιγικές συνθήκες στα ιζήματα λόγω μεγάλης προσκομιδής θρεπτικών συστατικών στο θαλάσσιο νερό, με επακόλουθη αυξημένη τροφοδοσία των ιζημάτων με οργανικό υλικό. Η υψηλή κατανάλωση οξυγόνου κατά την αποσύνθεση της οργανικής ύλης οδηγεί στον σχηματισμό οργανικών ιζημάτων. Το βάθος της θαλάσσης της λεκάνης θεωρείται σχετικά μικρό (<200 m), ενώ οι ράχεις παραμένουν υπό την θαλάσσα σε αβαθή νερά. Κατά το Ασλένιο (?) τα ιζήματα παρουσιάζουν ενδείξεις επίδρασης κυμάτων και έντονης κίνησης νερού που αποδίδονται σε πτώση της στάθμης της

θάλασσας κατά την μετάβαση κατώτερου/μέσου Ιουρασικού. Μόνο τα νεώτερα ιζήματα (π.χ. ασβέστολιθοι της Βίγλας) παρέχουν ενδείξεις για βύθιση της Ιονίου αύλακος σε μεγαλύτερα βάθη νερου.

Η περιεκτικότητα σε οργανικό άνερακα των Ιουρασικών οργανικών ιζημάτων φθάνει συνήθως μέχρι 2% (Walzebuck, 1982) και εξαιρετικά μέχρι 5,2% στην Κέρκυρα (Baudin & Lachkar, 1990).

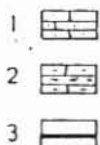
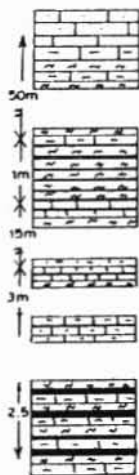
#### ΠΕΡΙΓΡΑΦΗ ΚΡΗΤΙΔΙΚΩΝ ΕΜΦΑΝΙΣΕΩΝ

Οι κρητιδικοί φωσφορίτες περιγράφονται αναλυτικότερα σε δημοσιευμένες εργασίες (Σκουνάκης, 1979, Machairas et al. 1979, Παπασταύρου, 1981. Βάρτη-Ματαράγκα κ.α., 1986.) και σε πλήθες αδημοσίευτων εκθέσεων του ΙΓΜΕ. Ο φωσφορούχος ορίζων, πλικίας μέσου Κονιασίου έως μέσου Σαντονίου (Βάρτη-Ματαράγκα κ.α., 1986), ανήκει στους ανωτέρους ορίζοντες των ασβεστολίθων της Βίγλας. Έχει πάχος από ολίγα έως 10 μέτρα και περιεκτικότητα σε  $P_{2O_5}$  10-12 %. Το φωσφορούχο ζημα εμφανίζεται συνήθως υπό μορφήν παραλλήλων χιλιοστομετρικών ταινιών και εναλλάσσεται με πελαγικά ασβεστολιθικά και κερατολιθικά στρώματα. Ο σχηματισμός των φωσφορούχων ιζημάτων αποδίδεται σε διαγενετική φωσφοριτίωση σε περιβάλλον εξωτερικής υφαλοκρυπίδας, πιθανώς σε περισσότερες της μιας υπολεκάνες (Βάρτη-Ματαράγκα κ.α. 1986).

Βάσει της στρωματογραφικής τομής Κληματιάς του γεωλόγου Πίτσικα (Πομώνη-Παπαϊωάννου, 1988) προκύπτει ότι η φωσφορούχος ζώνη αποτελεί το ανώτερο τμήμα της πυριτικής ζώνης της σειράς της Βίγλας και υπόκειται κατ' ευθείαν της μεταβατικής ζώνης προς τους ασβεστολίθους του ανωτέρου Σενώνιου.

Η πυριτική ζώνη της Βίγλας, γνωστή επίσης και ως ανώτερη πυριτική σειρά, προς αντιδιαστολή από την πυριτική σειρά των σχιστολίθων με Ποσειδώνες, χαρακτηρίζεται από την αφεονία κονδύλων και στρωμάτων πυριτολίθων και φιλοξενεί επίσης πλούσια οργανικά ιζήματα σε σταθερό στρωματογραφικό επίπεδο. Βάσει της πλικίας της πυριτικής σειράς της Βίγλας (IGRS-IPF, 1966), η απόθεση των οργανικών ιζημάτων της θα πρέπει να οριοθετηθεί στο Κενομάνιο-Τουρώνιο.

Στην τομή Κληματιάς περιγράφονται τρία μαύρα στρωματόδια πάχους 1cm έκαστον εντός της ζώνης των μαύρων κερατολίθων (Πομώνη-Παπαϊωάννου, 1988). Εδώ απαντά ουσιαστικά η αποσφήνωση των οργανικών ιζημάτων, το ενδιαφέρον θμώς της τομής συνίσταται στο ότι τεκμηριώνει τον στρωματογραφικό συσχετισμό οργανικών ιζημάτων και φωσφοριτών. Τυπική εμφάνιση των οργανικών ιζημάτων ευρίσκεται στο Φαράγγι του Γκόζακα κοντά στο χωριό Τσαμαντάς (Χιώτης, 1983). Πρόκειται για μαύρα αργιλλικά στρώματα πάχους μερικών εκατοστών που παρεμβάλλονται μεταξύ εναλλαγών ασβεστολίθων και λεπτών στρωμάτων κερατολίθων (Σχ. 5). Η πρώτη ομάδα στρωματίδων οργανικών ιζημάτων απαντά περίπου 50 m χαμηλότερα από την βάση των ροδοχρών ασβεστολίθων που οριοθετεί (IGRS-IPF, 1966) την μετάβαση Τουρώνιου-Σενώνιου. Πρόκειται για επτά μαύρα αργιλλικά στρώματα, πάχους τριών έως πέντε εκατοστών έκαστον, που εναλλάσσονται με μαύρους κερατολίθους, εντός ζώνης συνολικού πάχους ενός μέτρου. Άκολουθούν δύο στρωματόδια παρεμβαλλόμενα μεταξύ ασβεστολίθων και τέλος δεύτερη ζώνη πάχους 2,5 μέτρων αποτελούμενη από εναλλαγές ασβεστολίθων, μαύρων κερατολίθων και τεσσάρων μαύρων αργιλλικών στρωμάτων πάχους 10 έως 15 εκατοστών έκαστον. Η περιεκτικότητα σε οργανικό άνερακα στα οργανικά ιζήματα του Γκόζακα είναι πολύ υψηλή, όπως φαίνεται στόν πίνακα 1.



Σχ. 5. Στρωματογραφική τομή στο Φαράγγι του Γκόζακα. 1:Ροδόχροες ασβεστόλιθοι στο όριο κατώτ. Σενωνίου-Τουρωνίου. 2:Πυριτική ζώνη της Βίγλας Κενομανίου-Τουρωνίου, αποτελούμενη από εναλλαγές πελαγικών ασβεστολίθων και κερατολίθων. 3:Μαύρα οργανικά ιζήματα.

Fig.5. Stratigraphic column at Gozakas canyon.. 1:Pink limestones at the Lower Senonian-Touronian transition. 2:Cenomanian-Touronian siliceous zone of Vigla consisting of alternating pelagic limestones and radiolarian cherts. 3:Black shales.

ΠΙΝΑΚΑΣ 1  
Περιεκτικότητα σε οργανικό άνερακα  
κρυπτιδικών οργανικών ιζημάτων της Ιονίου ζώνης.

Περιοχή	Αριθμός δειγμάτων	Οργανικός συντριβέ %		Συνολικό πάχος, cm
		Μέση περιεκτικότητα	Κατώτερο-ανώτερο όριο	
Γκόζακας	13	20,1	1,26 - 41,04	90
Δοδώνη	3	1,1	0,62 - 1,45	10
Ερεικούσσα*	1	23,7	-	-
Οθωνοί**	2	8,2	1,76 - 14,66	-
Σιστρούνιο	13	1,5	0,55 - 3,19	120

\*19° 34' / 39° 53,5'

\*\*19° 23' / 39° 50,5'

Σε ανάλογη στρωματογραφική θέση απαντούν οργανικά ιζήματα και σε όλες περιοχές σε ολόκληρο το εύρος της Ιονίου ζώνης, όπως τη Δοδώνη, τους Θεωνούς, το Σιστρούνιο και την θαλάσσια γεώτρηπο Ερεικούσα (Σχ. 1). Η περιεκτικότητα τους σε οργανικό άνθρακα φαίνεται επίσης στον πίνακα 1. Εξ αλλού, οι κροτιδικοί φωσφορίτες και τα παρεμβαλλόμενα ιζήματα είναι πτωχά σε οργανικό άνθρακα, όπως προκύπτει από σχετική διεγματοληψία στο κοίτασμα Κασμηρά Ιωαννίνων, όπου προσδιορίσθηκαν τιμές 0,05 έως 0,20 %. Από την κατανομή τους εν σχέσει πρός τις υποθαλάσσιες ράχεις διαφέρεται ότι τα οργανικά ιζήματα αποσφυνώνονται στις ράχεις και αποκτούν σημαντικές διαστάσεις στα βαθύτερα σημεία της λεκάνης.

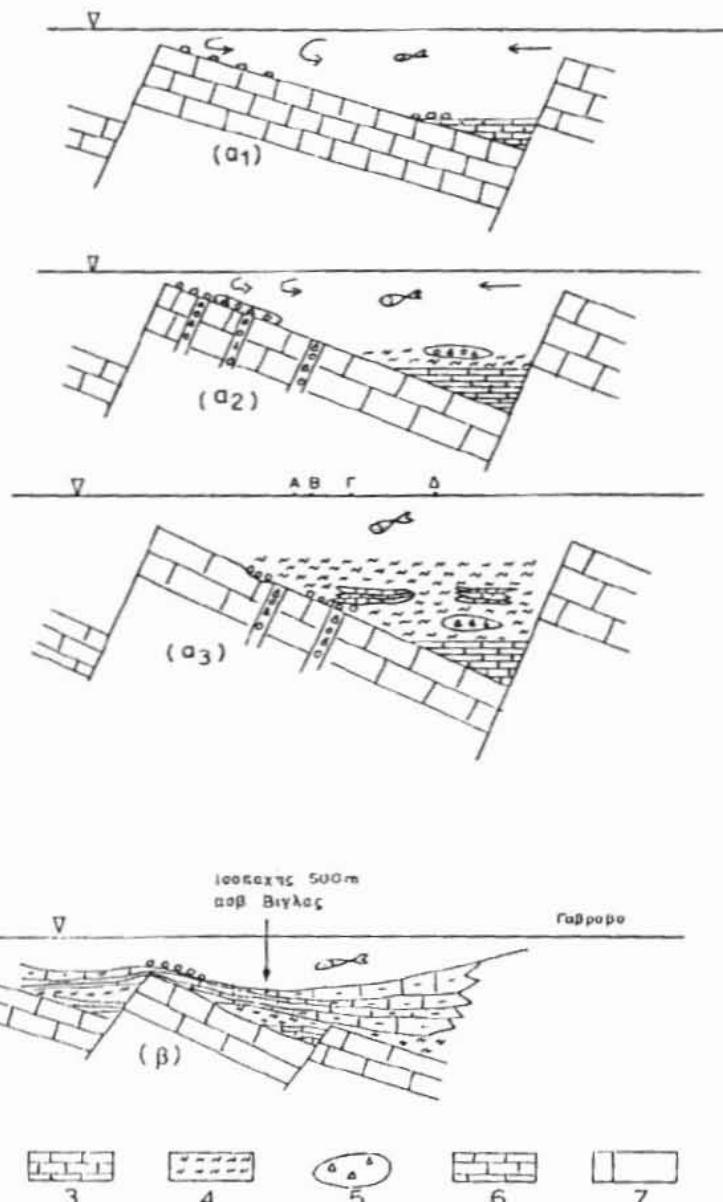
#### ΠΑΛΑΙΟΓΕΩΓΡΑΦΙΚΕΣ ΣΥΝΘΗΚΕΣ ΣΧΗΜΑΤΙΣΜΟΥ ΤΩΝ ΦΩΣΦΟΡΙΤΩΝ ΚΑΙ ΤΩΝ ΟΡΓΑΝΙΚΩΝ ΙΖΗΜΑΤΩΝ

Οι ιουρασικοί φωσφορίτες απαντούν αποκλειστικά στις υποθαλάσσιες ράχεις της Ιονίου (Σχ. 1) και μάλιστα σε όλο το εύρος αυτής. Κατά την παράταξη συναντώνται από τα ελληνοαλβανικά σύνορα προς βορράν μέχρι της Άρτας προς νότον. Οι κροτιδικοί κατανέμονται εντός επιμήκους λωρίδας πλάτους 10 έως 20 km και μήκους άνω των 130 km. Οι περισσότεροι από τους κροτιδικούς φωσφορίτες της Ήπειρου διατάσσονται στα περιβόρια της υποθαλάσσιας ράχης Δελβινακίου-Ζίτσας, Δοδώνης-Λούρου. Τούτο συνεπάγεται απόθεση σε περιβάλλον συμπυκνωμένης ιζηματογένεσης. Όπως συνάγεται από τον χάρτη ισοπαχών των ασβεστολίθων της Βίγλας (IGRS -IFP, 1966), η ανωτέρω ράχη ευρισκεται αμέσως δυτικότερα της μεταξύ Ιονίου και Γαβρόβου υφαλοκρηπίδας. Η τελευταία αντιστοιχεί στην ζώνη μεγάλου πάχους και σαν βάση της υφαλοκρηπίδας μπορεί να ληφθεί κατά πρασέγγιση η ισοπαχής των 500 μέτρων (Σχ.6β).

Οι ιουρασικοί στωματοειδείς φωσφορίτες Δελβινακίου σχηματίσθηκαν και απετέθησαν σε περιβάλλον ανάπτυξης φυκών (Σχ. 4A) και συνεπώς σε μικρό βάθος θαλάσσης, οπωδήποτε δε εντός της ευφωτικής ζώνης. Κατ' αναλογίαν, και λόγω της σπουδαιότητας του βιολογικού κύκλου στην φωσφορογένεση, δεκόμεθα σχηματισμό των κροτιδικών φωσφορίτων εντός της ευφωτικής ζώνης, κατά μήκος της υποθαλάσσιας ράχης με δυνατότητα μεταφοράς και απόθεσης του φωσφορίτη στο περιβάλλον αυτής.

Οι ιουρασικοί φωσφορίτες απετέθησαν στην διάρκεια στρωματογραφικού κενού και ο προσδιορισμός της πλικίας τους έμμεσα μόνο είναι δυνατός. Οι παλαιότερες ενδείξεις φωσφορογένεσης απαντούν στους ανώτερους ορίζοντες των ασβεστολίθων των Σινιών (Σχ.4δ). Εξ αλλού, το υλικό πληρώσεως των ιζηματογενών φλεβών αντιστοιχεί, από πλευράς χαρακτηριστικών και μπχανισμού γενέσεως, προς τα λατυποπαγή που απετέθησαν στο περιβάλλον των ιουρασικών οργανικών ιζημάτων δι' ολισθήσεως επί του βαλασσίου πυθμένος. Τα λατυποπαγή αυτά τροφοδοτήθηκαν από υποθαλάσσιες ράχεις, στη πορεία τους συνέπιπταν ρωγμές στο ανάγλυφο των ασβεστολίθων του Παντοκράτορα που τις εγέμισαν και το υπόλοιπο υλικό απετέθη στον πυθμένα των λεκανών. Συνεπώς οι φλεβικοί φωσφορίτες είναι ισόχρονοι προς τα λατυποπαγή που απετέθησαν στους κατώτερους πλιτικούς ορίζοντες των οργανικών ιζημάτων, πλικίας Πλιεσμπάχιου-κατώτερου Ταύσιου κατά Walzebeck (1982). Οι ρωγμές των ασβεστολίθων του Παντοκράτορα που φιλοξενούν τις ιζηματογενείς φλέβες έχουν τεκτονική προέλευση, όπως προκύπτει από στατιστική ανάλυση του προσανατολισμού τους, και σχηματίστηκαν συνεπέα της εφελκυστικής τεκτονικής που οδήγησε στον κατακερματισμό της ανθρακικής πλατφόρμας.

Ακόμη νεότερη φάση φωσφορογένεσης μαρτυρεί η τομή του Σχ. 4Γ, στην οποία απαντούν εμποτισμοί φωσφορίτου κάτω από τους ασβεστολίθους.



Σχ. 6. Σχηματικές παλαιογεωγραφικές τομές α) κατά την ιουρασική & β) κατά την κρητιδική φωσφορογένεση. 1:Ασβεστόλιθοι Βίγλας 2:Άνωκρητιδικός ή ιουρασικός φωσφορίτης. 3:Ασβεστόλιθοι με filaments. 4:Αδιαίρετοι σχιστόλιθοι με Ποσειδώνιες. 5:Λατυπομαγή αποτελεόντα με debris flow. 6:Ασβεστόλιθοι Σινιών 7:Ασβεστόλιθοι Παντοκράτορα.

Fig.6. Schematic paleogeographic sections during a) the Jurassic and b) the Cretaceous phosphogenesis. 1:Vigla limestones. 2:Upper Cretaceous or Jurassic phosphorite. 3:Limestones with filaments 4:Undivided Posidonian Shales. 5:Debris-flow Phosphates. 6:Sinios limestones. 7:Pantokrator limestones. Φηματική Βιβλιοθήκη Θεόφραστος - Τμήμα Γεωλογίας. Α.Π.Θ.

εους με filaments. Στην τομή 4B, πλησίον του στρωματοειδούς φωσφορίτη, η παρουσία των οργανικών ιζημάτων συνεπάγεται ότι η επανάληψη της ιζηματογένεσης είναι (σόχρονη προς τους ανώτερους ορίζοντες των Ιουρασικών οργανικών ιζημάτων (Ασλένιο), όπου παρατηρούνται αποσφραγίσεις αυτών με τους ασβεστολίθους με filaments.

Συνεπώς η Ιουρασική φωσφορογένεση παρακαλούεται από τους ανώτερους ορίζοντες των ασβεστολίθων των Σινιών (Δομέριο) μέχρι την οροφή των κατωτέρων σχιστολίθων με Ποσειδώνιες ή την οροφή των ασβεστολίθων με filaments (Ασλένιο). Η φωσφορογένεση στις υποελάσσιες ράχεις εξελίχθηκε παράλληλα με την απόθεση των οργανικών ιζημάτων και των κατωτέρων σχιστολίθων με Ποσειδώνιες στα βαθύτερα σημεία της λεκάνης (Σχ. 6α). Δεν υπάρχουν στοιχεία από τα οποία να προκύπτει ότι η φωσφορογένεση ήταν συνεχής κατά την ανωτέρω περίοδο, μπορεί όμως να θεωρηθεί από την συχνότητα και την σπουδαιότητα των διαφόρων εμφανίσεων ότι η σημαντικότερη φάση φωσφορογένεσης αντιστοιχεί στις ιζηματογενείς φλέβες.

Τα κρητιδικά οργανικά ιζήματα σχηματίσθηκαν σε συνθήκες ελεύθερης υποβαλλάσσιας κυκλοφορίας υδάτων, ενώ τα αντίστοιχα Ιουρασικά, εν μέρει τουλάχιστον, σε περιβάλλον αναδευομένων υδάτων. Επί πλέον, η τριπλή σχέση φωσφορογένεσης -οργανικών ιζημάτων-ραδιολαριτών υποδηλώνει συνθήκας υψηλής βιολογικής παραγωγικότητας χάρις σε ανοδικά ρεύματα πλούσια σε βρεπτικά συστατικά. Οι ανωτέρω συνθήκες δεν συνηγορούν υπέρ της αποθέσης των οργανικών ιζημάτων της Ηπείρου σε αναερόβιο (anoxic) περιβάλλον, όπως υποστηρίζεται στην βιβλιογραφία για παρόμοιους σχηματισμούς (Arthur & Schlanger, 1979; Demaison & Moore, 1980; Jenkyns, 1980; Jenkyns 1985).

Από την διαφορετική κατανομή στο χώρο Ιουρασικών και κρητιδικών φωσφοριτών συνάγεται ότι θα πρέπει να συνδέονται με ρεύματα διαφορετικού τύπου. Ειδικότερα προκύπτει ότι οι κρητιδικοί φωσφορίτες οφείλονται σε ρεύματα επαγόμενα από αληγείς ανέμους που έδρασαν σε στενή λωρίδα παράλληλα προς την γενική παράταξη, στο ανατολικό περιβώριο της Ιονίου ζώνης, ενώ οι Ιουρασικοί σε ισημερινά ρεύματα εγκάρσια ή υπό μεγάλη γωνίαν. Η ανάπτυξη ανοδικών ρευμάτων πραγματοποιείται κυρίως με δύο τρόπους : με ισημερινά ρεύματα εξ ανατολών προς δυσμάς σε μικρά γεωγραφικά πλάτη, όπου η δύναμης Coriolis είναι ασθενής, και με ρεύματα επαγόμενα από αληγείς ανέμους (trade winds) σε πλάτη 20°-40° (Jarvis, 1980). Στο βόρειο ημισφαίριο οι αληγείς άνεμοι είναι ΒΔ και δημιουργούν ανερχόμενα ρεύματα μόνο στις ανατολικές ακτές των Ακτών. Βάσει της παλαιογεωγραφικής ανάλησης των Dercourt et al. (1986) η Ιόνιος ζώνη κατά την απόθεση των Ιουρασικών φωσφοριτών ευρίσκεται σε πλάτη 8° έως 15° και κατά το άνω Κρητιδικό σε πλάτη 20° έως 25°. Συνεπώς η ανωτέρω μεταβολή του γεωγραφικού πλάτους μπορεί να εξηγήσει τη διαφορά στον τύπο ανοδικών ρευμάτων, δεν αρκεί όμως για να δικαιολογήσει γιατί αναπτύχθηκαν. Απαραίτητη προϋπόθεση για αυτό είναι ο ευνοϊκός συνδυασμός παλαιογεωγραφίας και ατμοσφαιρικής κυκλοφορίας (Pedersen & Calvert, 1990), παράγοντες που δεν μπορούν να εκτιμηθούν με παλαιογεωγραφικά μοντέλα της στενής μόνον περιοχής της Ιονίου ζώνης. Τα διαθέσιμα δεδομένα από την περιοχή της Ηπείρου αποτυπώνουν απλώς την δράση των ρευμάτων αυτών. Αυτό που μπορεί να λεχθεί είναι ότι η απόθεση ραδιολαριτών, φωσφοριτών και οργανικών ιζημάτων προϋποθέτει την επικοινωνία και τροφοδότηση της Ιονίου ζώνης με βαθειά ακτές ύδατα της Τηθύος, ψυχρά και πλούσια σε βρεπτικά συστατικά.

Ειδικότερα για τους κρητιδικούς φωσφορίτες η σύνδεσή τους με ανοδικά ρεύματα από αληγείς ανέμους, που στο βόρειο ημισφαίριο αναπτύσσονται στα δυτικά περιβώρια πεπέρων, συνεπάγεται ότι τον ρόλο της χέρσου έπαιξε η υφαλώδης ζώνη του Γαβρόβου δυτικά της

οποίας αναπτύσσεται η λωρίδα των φωσφορίτων (Σχ. 6β).

Αντίθετα με τους κρητιδικούς, οι γνωστοί ιουρασικοί στρωματοειδείς φωσφορίτες, παρά τη μεγάλη διάρκεια και ένταση της ιουρασικής φωσφορογένεσης, έχουν περιορισμένη έκταση και πάχος και απαντούν εντός εγκοίλων. Τούτο οφείλεται στην επίδραση ρευμάτων στις υποθαλάσσιες ράχεις, που δεν επιτρέπουν την συγκέντρωση των φωσφορίτων. Η επίδραση ισχυρών ρευμάτων επιβεβαιώνεται επίσης από την πυκνή συσσώρευση Ποσειδώνιών εντός των εγκοίλων.

Τα οργανικά ιζήματα της Ήπειρου παρουσιάζουν ομοιότητες από πλευράς πλικίας και περιεκτικότητας σε οργανικό άνθρακα με τα δύο γνωστά επεισόδια αναγνωρικότητος ( anoxic events) της Ευρώπης. Ο Jenkyns (1985) θεωρεί ότι η διάρκεια και των δύο αυτών επεισοδίων ήταν πιθανώς μικρότερη από μισό εκατομμύριο χρόνια και τα οριοθετεί το πρώτο στο Τοάρσιο (κατώτερη zώνη *falciferum* ή *upozonum exaratum*) και το δεύτερο στο όριο Κενομανίου-Τουρωνίου (zώνη *Whiteinella archaeocretacea*). Τα ελληνικά δεδομένα περιεκτικότητος σε οργανικό άνθρακα επιβεβαιώνουν το συμπέρασμα του Jenkyns (1985) ότι εις την Τηνύν το δεύτερο επεισόδιο έδωσε οργανικά ιζήματα σημαντικά πλούσιότερα σε άνθρακα. Την απόθεση των πλουσίων σε οργανικό άνθρακα ιζημάτων αποδίδει ο Jenkyns (1985) στην ανάπτυξη μαζών ύδατος πτωχών σε οξυγόνο.

Μια διαφορετική άποψη για τις συνεπήκες σχηματισμού των πλουσίων οργανικών ιζημάτων (Parrish, 1982; Pedersen & Calvert, 1990), που συμμεριζόμεθα διότι ανταποκρίνεται στα δεδομένα της Ήπειρου, συσχετίζει την απόθεση οργανικών ιζημάτων με τις θέσεις λειτουργίας ανοδικών ρευμάτων, χωρίς να θεωρεί σαν βασική προϋπόθεση τις αναερόβιες συνθήκες.

#### ΣΥΜΠΕΡΑΣΜΑΤΑ

Στην Ήπειρο οι πλούσιοι σε ραδιολάρια πυριτικοί σχηματισμοί (σχιστόλιθοι) με Ποσειδώνιες και πυριτική σειρά της Βγλας, οι φωσφορίτες και τα πλούσια οργανικά ιζήματα συσχετίζονται γενετικά με ανοδικά ρεύματα, που προσεκόμισαν ψυχρά και πλούσια σε θρηπτικά συστατικά νερά από το βάθος του ωκεανού της Τηνύος.

Η ιουρασική φωσφορογένεση συνδέεται με ιστομερινά ανερχόμενα ρεύματα και εξελίχθηκε σε υποθαλάσσιες ράχεις σε όλο το Εύρος της Ιονίου ζώνης παράλληλα με την απόθεση οργανικών ιζημάτων στα βαθύτερα. Η φωσφορογένεση αρχίζει με την απόθεση των ανωτέρων οριζόντων των ασβεστολίθων των Σινιών, συνεχίζεται κατά την απόθεση των κατωτέρων σχιστολίθων με Ποσειδώνιες, οπότε και παρουσιάζει μέγιστο κατά την απόθεση των κατωτέρων πολιτικών τους οριζόντων, και κλείνει με τους ασβεστολίθους με filaments. Ενα μέρος των φωσφορικών ιζημάτων μετεφέρετο προς τα βαθύτερα σημεία των λεκανών μέσω ρευμάτων ή debris flow και μόνον μικρό μέρος αυτών συγκρατήθηκε σε έγκοιλα του ανάγλυφου των ασβεστολίθων του Παντοκράτορα. Ο τελευταίος δεν έχει υποστεί καρστική διάβρωση, τουλάχιστον έντονη, και αυτό δεν βοήθησε στη δημιουργία μεγάλων συγκέντρωσεων φωσφοριτικών ιζημάτων στην περιοχή των υποθαλασσίων ράχεων, όπου οι αποτελεσματικότερες θέσεις παγίδευσης ήταν οι ρωγμές των ασβεστολίθων. Ως εκ τούτου, το ερευνητικό ενδιαφέρον γιά τους ιουρασικούς φωσφορίτες θα πρέπει να εστιασθεί στις ιζηματογενείς φλέβες και ενδεχομένως στους κατώτερους σχιστολίθους με Ποσειδώνιες, όπου μετεφέρετο ο φωσφορίτης, πρωτίστως δε στα λατυποπαγή τύπου debris flow.

Οσον αφορά τους ανωκρητιδικούς φωσφορίτες η έρευνα τους είναι ευκολότερη και περισσότερο προχωρημένη, χάρις :

- 1) στή σταθερή και χαρακτηριστική στρωματογραφική θέση τους,

- 2) στη διάταξη τους εντός στένης λωρίδας κατά την παράταξη, που οφείλεται σε ανοδικά ρεύματα συνδεδεμένα με αληγείς ανέμους και  
3) στην περιορισμένη μεταφορά του φωσφορίτη από την υποθαλάσσια  
ράχη προς τα βαθύτερα της λεκάνης προς ανατολάς.

Εξ αλλού, τα ανερχόμενα ρεύματα που οδήγησαν στην γένεση των ανωκρητιδικών φωσφοριτών στην Ηπειρο θα μπορούσαν να ευνοήσουν την φωσφορογένεση και στην ράχη του Γαβρόβου. Δυστυχώς το τμήμα της ζώνης του Γαβρόβου το γειτονικό προς τους φωσφορίτες της Ηπείρου, όπου η φωσφορογένεση ήταν ιδιαίτερα έντονη, καλύπτεται από την επωημένη ζώνη της Πίνδου.

Τα οργανικά ιζήματα της Ηπείρου είναι εξαιρετικής ποιότητος, παρουσιάζουν όμως ένα σημαντικό μειονέκτημα, είναι δηλαδή θερμικά ανώριμα υπό κανονικάς συνείκασης (Walzebeck, 1982; Χιώτης, 1983). Αυτό περιορίζει την πετρελαιογένεση στις περιοχές μόνον όπου αυτά τα οργανικά ιζήματα έχουν βιειστεί τεκτονικά σε σημαντικά βάθη.

Η εξάπλωση των Ιουρασικών οργανικών ιζημάτων περιορίζεται μόνον στην Ηπειρο, δεδομένου ότι νοτιότερα δεν απαντούν οι κατώτεροι σχιστόλιθοι με Ποσειδώνιες. Αυτό, σε συνδυασμό με τη συγκεντρωση στην Ηπειρο των περισσοτέρων εμφανίσεων υδρογονανθράκων της δυτικής Ελλάδος, συνηγορεί έμμεσα υπέρ του γενετικού συσχετισμού των εμφανίσεων αυτών με τα Ιουρασικά οργανικά ιζήματα.

#### REFERENCES

- ARTHUR, M.A. and SCHLANGER, S.O. (1979). Cretaceous "oceanic anoxic events" as causal factors in development of reef-reservoir giant oil fields. A.A.P.G.Bull. 63, 870-885.
- AUBOIN, J. (1959). Contribution à l'étude géologique de la Grèce septentrionale : les confins de l'Epire et de la Thessalie. Ann. géol. Pays Hell., 10, 1-525.
- BAPTH-MATAPAGKA, M. και άλλοι (1986). Μελέτη των συνενκών γένεσης των φωσφορούχων σχηματισμών της Ιονίου ζώνης. Δελτ. Ελλ. Γεωλ. Εταιρ., 20/2, 343-361.
- BAUDIN, F. et LACHKAR, G. (1990). Geochemistry organique et palynologie du Lias supérieur en zone ionienne (Grèce). Exemple d'une sedimentation anoxique conservée dans une paleomarge en distension. Bull.Soc.Geol. France, 6, 123-132.
- BEKIOS, P. (1979). Προκαταρκτική έκεση γιά τον βιτουμεντούχο φωσφορίτη στην περιοχή Φαράγγι Ηπείρου. Αδημοσ. έκεση ΙΓΜΕ 14 σ.
- BOSSELLINI, A. and WINTERER, E.L. (1975). Pelagic limestone and radiolarite of the Tethyan Mesozoic : a genetic model. Geology, 3, 279-282.
- B.P. Co LTD (1971). The geological results of petroleum exploration in Western Greece. I.G.S.R., 10, 1-73.
- DANELIAN, T. (1989). Radiolaires jurassiques de la zone Ionienne (Epire, Grèce). Paléontologie, stratigraphie, implications paléogéographiques. Thèse Dipl. Docteur. Univ. Pierre et Marie Curie, Paris, 260 p.
- DEMAISON, G.J. and MOORE, G.T. (1980). Anoxic environments and oil source bed genesis. A.A.P.G. Bull. 64, 1179-1209.
- DERCOURT, J. et al. (1986). Geological evolution of the Tethys belt from the Atlantic to the Pamir since the Lias. Tectonophysics, 123, 241-315.
- FLEURY, J.J. (1980). Les zones de Cavrovo-Tripolitza et du Pinde-Olona (Grèce continentale et Péleponnèse du Nord). Evolution d'une plateforme et d'un bassin dans leur cadre alpin. Soc. géol. Nord Publ., Lille, 4, 651 p.

- IGRS-IFP (1966). Etude géologique de l' Epire (Grèce nord- occidentale. Ed. Technip, Paris, 306 p.
- JARVIS, I. (1980). The initiation of phosphatic chalk sedimentation -the Senonian (Cretaceous) of the Anglo- Paris basin, In: Bentor, Y.K. (ed.), Marine phosphorites-Geochemistry, occurrence, genesis. S.E.P.M., Sp. Publ. No 29, 167-192.
- JENKYN, H.C. (1980). Cretaceous anoxic events: from continents to oceans. J. Geol. Soc. London, 137, 171-188.
- JENKYN, H.C. (1985). The Early Toarcian and Cenomanian-Turonian anoxic events in Europe: comparisons and contrasts. Geol. Rundschau, 74, 505-518.
- KARAKITSIOS, V. (1990). Chronologie et géométrie de l' ouverture d' un bassin et de son inversion tectonique: le bassin Ionien (Epire, Grèce). Thèse Dipl. Docteur. Univ. P. et M. Curie, Paris, 305 p.
- MACHAIRAS, et al. (1979). Découvert d' importants dépôts de phosphorites en Epire (Grèce). C.R.Acad. Sc. Paris, 288, 1367-1370.
- ΠΑΠΑΣΤΑΥΡΟΥ, Σ. (1981). Ιzηματογενείς φωσφορούχοι σχηματισμοί. Κατάταξη-Συνεπήκες σχηματισμού -Έρευνα στην Ελλάδα - Προοπτικές. Δελτ. Ελλ. Γεωλ. Εταιρ., 15, 13-31.
- PARRISH, J.T. (1982). Upwelling and petroleum source beds, with reference to Paleozoic. A.A.P.G. Bull, 66, 750-774.
- PEDERSEN, T.F. and CALVERT, S.E. (1990). Anoxia vs. productivity: what controls the formation of organic-carbon-rich sediments and sedimentary rocks. A.A.P.G. Bull, 74, 454-468.
- ΠΟΜΩΝΗ-ΠΑΠΑΙΩΑΝΝΟΥ, Φ. (1988). Ιzηματολογικη μελετη της στρωματογραφικής τομής "Κλιματιάς" (άνω κρυπτιδικοί σχηματισμοί Ηπείρου). Αδόμοσ. έκθεση ΙΓΜΕ, 22 σ.
- RENZ, C. (1957). Die vorneogene Stratigraphie der normal sedimentaren formationen Griechenlands. I.G.S.R., 637 p.
- ΣΚΟΥΝΑΚΗΣ, Σ. (1979). Συμβολή εις την μελετη των συνεπηκών γένεσης των κοιτασμάτων φωσφόρου της Δυτικής Ελλαδος. Πανεπ. Αθηνών. Διατρ. Υφηγ., 143 σ.
- WALZEBUCK, J.P. (1982). Sedimentologie der unterjurassischen Schwarzschiefer der Ionischen Zone von NW-Griechenland. Diss. Dokt., Univ. Tübingen, 150 p.
- ΧΙΩΤΗΣ, Ε. (1983). Η συμβολή της οργανικής γεωχημείας στην έρευνα υδρογονανθράκων στην Ελλάδα. Συλ. Ελλ. Γεωλ., 1<sup>o</sup> Γεωλ. Συν., 203-217.